

## 平衡型スピンクロスオーバー錯体 [Fe(acpa)<sub>2</sub>]PF<sub>6</sub>の熱容量異常

温度変化によりスピン量子数が変化する現象をスピンクロスオーバーと呼び、本レポートでもこれまでに度々紹介してきました。この現象はスピン量子数の変化を伴うので、磁気的性質が劇的に変化し、あたかも磁性が主導権を握っているように見受けられます。しかし熱測定の結果は、中心金属原子と配位子との間の距離が大幅に変化することによるフォノンの寄与が極めて大きいことを示しており、スピンとフォノンのどちらが主役ともいえません。

さてスピンクロスオーバーには大別して二つのタイプが知られています。第一は、スピンクロスオーバーが狭い温度域で突然起る場合で、明確な相転移現象を示します。相転移あるいは突然変異型とでもいえましょう。第二は、広い温度域で極めて徐々にスピンクロスオーバーが進行する場合です。勿論、固定されたエネルギー準位間のボルツマン平衡の温度変化よりは急激であり、なにがしかの協同現象性は存在しますが、平衡型と呼びたくなるほど緩慢です。

ところが興味深いことに、低スピンと高スピン間の変換速度は平衡型の方が一般には早く、例えば鉄原子のメスバウアー分光の時間スケール ( $10^{-7}$ 秒) より短いため、両スピン状態の平均化された四極分裂しか観測されません。相転移型の場合には二つのスピン状態による四極分裂が共存して観測されます。

表題の錯体は平衡型で変換速度が早い代表例として、九州大学で最初に研究された化合物です (Y. Maeda, H. Oshio, Y. Takashima M. Mikuriya and M. Hidaka, *Inorg. Chem.*, **25**, 2958 (1986))。熱測定は最も時間スケールの長い観測手段ですから、 $10^{-7}$ 秒前後の変換速度に関しては無力ですが、平衡型のスピンクロスオーバーがどのような熱異常を示すかという未解決の問題が残されています。最近この問題に共同研究の形で挑戦してみました。

本錯体は図1に示したような3座配位子2個が鉄原子に配位しています。中心の鉄原子は3

価なので、低スピンでのスピン量子数は1/2であり、高スピンでは5/2となります。

図2はモル熱容量ですが、190K付近を中心非常に幅広い熱異常が観測されました。図中の破線は正常熱容量です。従来の鋭い相転移ピー

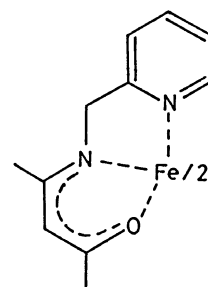


Fig. 1 Structure of the ligand molecule (acpa).

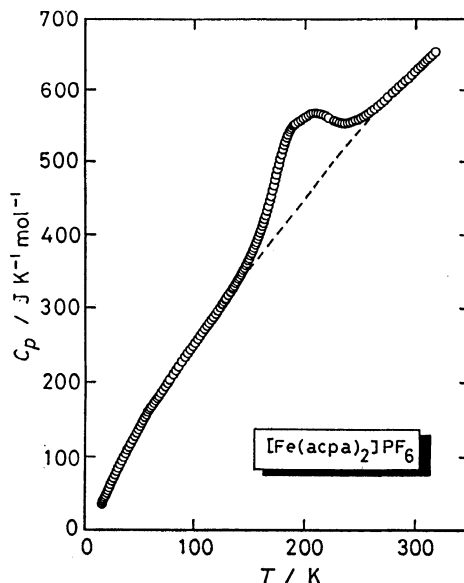


Fig. 2 Molar heat capacity of the spin-cross-over complex  $[Fe(acpa)_2]PF_6$ . The broken curve indicates the normal heat capacity.

くに慣れた目には、この熱異常が相転移だと断言するには勇気がいりますが、やはり相転移の一種とみなすのが正しそうです。この熱異常に基づくエンタルピーの変化は $\Delta H = 7.02 \text{ kJ mol}^{-1}$ 、エントロピー変化は $\Delta S = 36.2 \text{ J K}^{-1} \text{ mol}^{-1}$ となり、相転移型の錯体とほぼ同じ値となりました。

図3は $\Delta H$ から見積った高スピン分率と磁化率

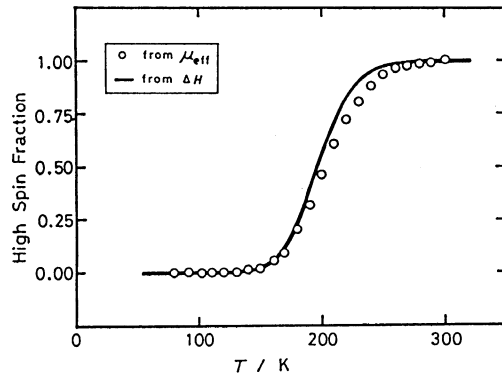


Fig. 3 High-spin fractions derived from the effective Bohr magneton and the transition enthalpy.

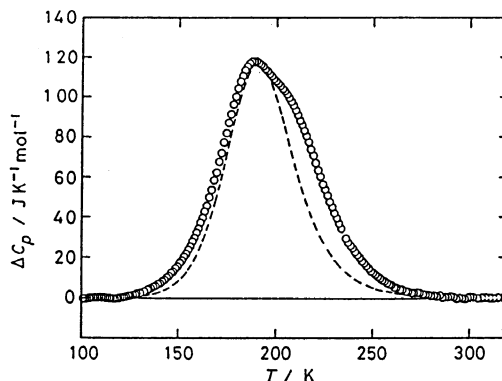


Fig. 4 Temperature dependence of the excess heat capacity,  $\Delta C_p$ . The broken curve indicates the theoretical values.

測定による有効ボア磁子  $\mu_{\text{eff}}$  から見積った高スピン分率の温度変化を比較したものです。両者の一致が良いことから、正常熱容量の見積もりが妥当であること、および、この熱異常がスピンクロスオーバーに起因していることがわかります。

スピニ多密度の変化によるエントロピーへの寄与は、本錯体の場合  $R \ln(6/2) = R \ln 3 (= 9.13 \text{ J K}^{-1} \text{ mol}^{-1})$  ですから、 $\Delta S$  の内約  $27 \text{ J K}^{-1} \text{ mol}^{-1}$  はフォノン系からの寄与となります。事実、IR とラマンスペクトルの温度変化からこの寄与が首尾よく説明できました。

図4は熱異常部分  $\Delta C_p$  の温度変化を示したもので、高温側に小さなショルダーを有する幅広いピークとなっていますが、メスバウア分光でもショルダーあたりの温度域で無反跳分率にわずかな異常が観測されていますので、このショルダーは本錯体固有の性質だと考えられます。 $\Delta C_p$  のピークを再現するために、Frenkel の液体における不均一相間のゆらぎの理論を適用して計算したのが図中の破線です。 $\Delta C_p$  のピークの概略をまず再現できました。このモデルではドメインを単位とした状態変化を仮定していますが、今回の計算ではドメイン当たりの分子数が5となりました。言い換えると、5分子位の小さな集団でスピン状態間の変換が起るため、比較的低温から励起され、しかも励起による周囲への影響が少ないため協同現象性に乏しく、なだらかな熱異常となったと考えられます。スピン状態間の変換速度が早いのも、小さな集団でスピニクロスオーバーが起る結果だと考えれば納得がゆきます。それでは何故、小集団でスピニクロスオーバーが起るのか？これは今後の課題です。

## 参考文献

前田米蔵、徂徠道夫、大塩寛紀、第37回錯塩化学討論会(東京), 2B13(1987).